

高等学校教学用書

# 采油机械

Р·И·施依先柯著



中国工业出版社

本書全面叙述了油矿采油机器与机械的計算基础、构造和工作原理，并介绍了井架与輕便井架、通井机、深井泵装置的单摆运动与集合运动、抽油杆、离心泵、活塞泵、旋轉泵及压缩机。

此書可作为高等石油学校教材或供油矿技术人员参考；也可作为中技采油专业的参考教材。

Р. И. ШИЩЕНКО  
НЕФТЕПРОМЫСЛОВЫЕ ЭКСПЛУАТАЦИОННЫЕ  
МАШИНЫ И МЕХАНИЗМЫ  
ГОСТОПТЕХИЗДАТ  
МОСКВА—1954

### 采 油 机 械

(根据石油工业出版社版书重印)

中国工业出版社出版(北京 延安路丙10号)

(北京市審刊出版事處許可能出字第110号)

石油工业出版社印刷厂印刷

新华书店科技发行所发行。各地新华书店經售

开本850×1168<sup>1</sup>/<sub>32</sub>·印张12<sup>24</sup>/2·字数304,000

1957年1月北京第一版

1961年6月北京新一版·1961年6月北京第一次印刷

印数0001—530·定价(10)2.10元

统一書号：15165·32(石社一三)

# 目 录

<b>第一章 井架与輕便井架</b>	<b>1</b>
§ 1. 井架的用途	1
§ 2. 作用于井架上的力	4
§ 3. 井架的水平載荷計算	10
§ 4. 井架的垂直載荷計算	12
§ 5. 井架基礎	17
§ 6. 應用	18
§ 7. 井架的安裝	20
§ 8. 輕便井架	21
<b>第二章 矿場用通井机</b>	<b>27</b>
§ 9. 通井机的用途及其类型	27
§ 10. 矿場用通井机速度的选择	28
§ 11. 矿場用通井机的发动机	33
§ 12. 矿場用通井机的絞車	39
§ 13. 絞車的剎車	43
§ 14. 通井机	46
<b>第三章 深井泵采油的單独運動裝置</b>	<b>52</b>
§ 15. 緒論	52
§ 16. 抽油机的基本理論	55
§ 17. 抽油机的平衡	59
§ 18. 切錢力	64
§ 19. 抽油机的較精确运动学	69
§ 20. 抽油机的精确运动学	71
§ 21. 求游梁式抽油机加速度的近似公式	79
§ 22. 在实际条件下作用于抽油机上的力	83

§ 23. 抽油机各桿長度合理比值的选择 .....	91
§ 24. 抽油机平衡的分析 .....	94
§ 25. 平衡抽油机的实用方法 .....	102
§ 26. 负切线力与几种使发动机载荷达到均匀的方法 .....	107
§ 27. 抽油机在苏联的發展史 .....	112
§ 28. 1950年抽油机的标准級 .....	119
§ 29. 决定抽油机电动机的功率 .....	131
§ 30. 在具体工作条件下深井泵设备的选择 .....	138
<b>第四章 集合運動裝置 .....</b>	<b>144</b>
§ 31. 一台抽油机照管兩口油井 .....	144
§ 32. 集合運動裝置的平衡 .....	148
§ 33. 繪制集合運動裝置切線力圖的方法 .....	156
§ 34. 集合運動裝置电动机功率的选择 .....	158
§ 35. 苏联石油矿場采用的集合運動裝置的情况 .....	158
§ 36. 牽引抽油机与拉桿 .....	162
<b>第五章 深井泵的抽油桿 .....</b>	<b>165</b>
§ 37. 抽油桿及其工作特点 .....	166
§ 38. 抽油桿柱的計算 .....	178
§ 39. 抽油桿柱下部的加重 .....	182
<b>第六章 离心泵 .....</b>	<b>185</b>
§ 40. 离心泵工作的一般指标 .....	185
§ 41. 离心泵的精造与作用原理 .....	186
§ 42. 离心泵的基本方程式 .....	190
§ 43. 涡輪机的基本方程式与涡流理論 .....	193
§ 44. 輪叶数目为有限值的影响 .....	196
§ 45. 求压头的实用公式 .....	199
§ 46. 輪叶的出口角度对泵工作的影响 .....	200
§ 47. 离心泵生产率的决定 .....	204
§ 48. 离心泵的分类 .....	207
§ 49. 导向器 .....	210

§ 50. 泵的特性曲线	216
§ 51. 离心泵连入管路的工作情况	221
§ 52. 泵所需的功率与泵的效率	223
§ 53. 轴向压力的平衡	226
§ 54. 液体粘度对离心泵工作的影响	229
§ 55. 离心泵的吸入条件	239
§ 56. 石油矿场上离心泵的采用	243
§ 57. 真空泵	249
<b>第七章 活塞泵</b>	<b>251</b>
§ 58. 活塞泵的工作原理	251
§ 59. 泵生产率的计算	253
§ 60. 吸入	255
§ 61. 排出	261
§ 62. 泵排量的不均匀性	264
§ 63. 空气包的计算	271
§ 64. 凡尔	274
§ 65. 凡尔落到凡尔座上不产生撞击的条件	281
§ 66. 盘形凡尔的计算	282
§ 67. 环形凡尔的计算	285
§ 68. 泵的效率	286
§ 69. 直接作用蒸汽泵	288
§ 70. 石油矿场上采用的活塞泵	292
<b>第八章 旋转泵</b>	<b>304</b>
§ 71. 旋转泵的工作原理	304
§ 72. 单轴泵	305
§ 73. 多轴泵	310
<b>第九章 压缩机</b>	<b>316</b>
§ 74. 简论	316
§ 75. 发生于增压机内的几种主要过程	316
§ 76. 管图	326

§ 77. 以 T—S 座标表示的几种主要过程 .....	330
<b>第十章 活塞压缩机 .....</b>	<b>333</b>
§ 78. 緒論 .....	333
§ 79. 壓縮机的功与生产率 .....	334
§ 80. 壓縮机的实际示功圖; 效率及所需的功率 .....	339
§ 81. 多級壓縮 .....	342
§ 82. 壓縮机的配气機構 .....	347
§ 83. 冷却 .....	350
§ 84. 壓縮机的调节 .....	356
§ 85. 壓縮机的潤滑 .....	358
§ 86. 在苏联石油开采工业中常采用的活塞压缩机的几种 类型 .....	361
<b>第十一章 旋转增压机与离心增压机 .....</b>	<b>378</b>
§ 87. 旋转压缩机的作用原理 .....	378
§ 88. 离心增压机的一般定义与分类 .....	382
§ 89. 通風机 .....	384
§ 90. 涡輪压缩机 .....	385
<b>第十二章 压气站 .....</b>	<b>390</b>
§ 91. 压气站的分类 .....	390
§ 92. 压气站的厂房 .....	391
§ 93. 基礎 .....	391
§ 94. 矿場压气站的管渠 .....	394
§ 95. 压气站的通風 .....	396
§ 96. 压气站的供水 .....	397

# 第一章 井架与輕便井架

## § 1. 井架的用途

在鑽井工作与試油工作結束后，通常將鑽井井架拆掉或搬到新的工作地点，而在生产井上根据油井的深度架設較輕的井架或輕便井架。

采油井架的功用与鑽井时用的井架一样，也是用来懸掛滑車系統的，以便在井下修理时进行起下作業或进行其他各种改变下入井內的油管或抽油桿長度的作業。

有时，在采油开始后的最初一个时期，由于油井上沒有采油井架，仍把鑽井井架保留不拆。

从經濟觀点出發，在鑽井結束以后，應該以采油井架替換鑽井井架。除了普通的四腿采油井架以外，尚采用用廢管子制成的三腿采油井架。这种井架的大腿是用6"的鑽桿制成的，橫拉筋及斜拉筋是用 $2\frac{1}{2}$ "管子制成的。

在淺井上常常不安裝上述采油井架，而是根据所需要的起重重量架設不同結構的輕便井架。

表1列出了在苏联矿場上常用的几种固定式采油井架与輕便井架的主要技术規格。

采油时，除了采用固定式輕便井架以外，同时也采用活动式輕便井架。

采用活动式輕便井架是适宜的，因为它們不过只是井上起重设备的一部分，并且离开了滑車通常便不能被利用。所以把輕便井架与可移动的通井机裝在一起(該通井机可以拖曳或輸运輕便井架)，應該承認是正确的。目前，在苏联各石油矿場上，已經有好几种这种设备；它們的構造在下面將加以討論。

从前井架是用旧管子制造的，而目前则用钢材制造。采油井架与鑽井井架一样，也是架设在用混凝土浇灌的基礅上，但在浅井上有时则架设在用木材作成的基礅上。井架大腿和横拉筋用4"的油管或角铁制成，斜拉筋则根据井架结构的不同或用细圆钢(抽油杆)制成，或用管子制成。

表 1

井架或轻便井架的名称	起重量 吨	高 度 公尺	顶面及底面尺寸		重 量 吨
			底面 尺寸 公尺	顶面 尺寸 公尺	
管式井架	100	22	5×5	1.5×1.5	5
阿寒拜霍石油设计托拉斯井架	100	22	8×8	2×2	4
BM 1-24型井架	—	24	8×8	2×2	5
五一厂和阿塞拜霍石油设计托拉斯井架	60	22	7×7	2×2	5
BOT-75-24型井架	75	24	8×8	2×2	12.1
BOM-24型井架	80	24	8×8	2×2	—
“三腿”井架	40	24	5×5	2	—
列宁石油托拉斯设计的横桁式轻便井架	25	13	1.90	0.70	—
同上，但为5'的	19	13	1.90	0.70	—
斯大林石油托拉斯设计的横桁式轻便井架	15	16	2.0	0.8	—
Y-T 横桁式轻便井架	40	20	3.25	0.7	—

附註 轻便井架的“顶面及底面尺寸”一栏中，是大腿轴线间的距离。

圖 1 与 圖 2 是兩種結構不同的采油井架。

旧式井架的底面是5×5公尺。新式井架的底面都是8×8公尺；这样就可以不必在采油井架下面再打新的基礅，因为在换井架的时候，新井架可以安装在鑽井井架的基礅上。

在井架的上部架设天车横梁，而在天车横梁上固定天车。生产井的天车都是制成五滑轮的，诸滑轮或在同一轴上，或在各自单独的轴上。在穿钢丝绳时，钢绳的死端可以固定在井架的框架梁木上，或固定在游动滑车的耳环上。

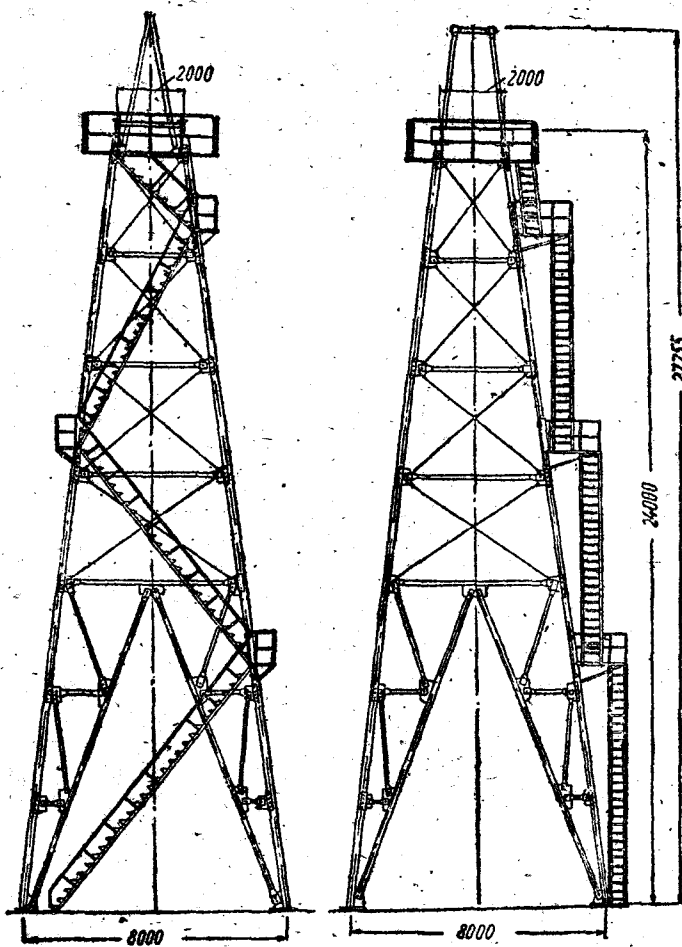


圖 1 用管子製造的采油井架

淺井井架的上部架設有梁木，在梁木上安裝天車滑輪的軸承；根據預定的載荷可以裝 1 個到 3 個滑輪。

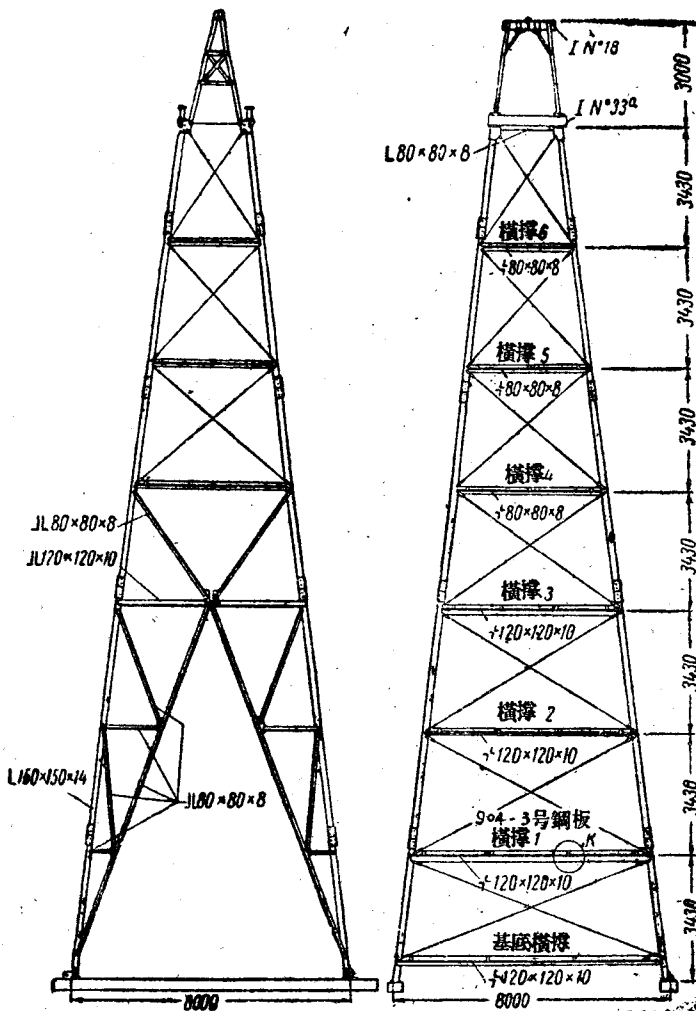


圖 2 用型鋼製造的采油井架

## § 2. 作用于井架上的力

架設于井上的采油井架，承受着各种使井架各構件产生应力的力。計算井架强度与稳定性的目的，就是要求出作用于井

架上的載荷，分析這些載荷，同時確定這些載荷的最不利的組合，然後檢驗該結構中各構件內所發生的應力及整個結構的穩定性。

作用於井架上的力，依其方向的不同，可分為垂直力及水平力。屬於垂直力的有：大鉤載荷、井架本身重量和滑車系統部分的重量，以及滑車系統鋼絲繩的拉力。采油井架與鑽井井架不同的地方，是鑽井井架在整個直接鑽井的期間內都被利用，而采油井架則只在進行起下作業及進行大修時才承擔載荷。

作用於井架上的垂直計算載荷，可用下式表示出：

$$Q = P_k + P_r + P_1 + P_0,$$

式中  $P_k$ ——大鉤載荷；

$P_r$ ——滑車系統的重量；

$P_1$ ——鋼絲繩工作端的拉力；

$P_0$ ——當鋼絲繩固定於井架的框架梁木上時，該鋼絲繩死端的拉力。

大鉤載荷可用須從油井內起出的管柱的最大重量求得：

$$P_k = qH,$$

式中  $q$ ——管柱每公尺的重量；

$H$ ——管柱的長度。

在生產井的各種條件下，提昇管柱的最大載荷常常發生於需要將油管連同抽油桿甚至帶著砂子一起進行提昇的時候。應當注意，在這種情況下管柱本身可能被砂子卡住。

所以大鉤的最大載荷不可能根據油井的資料準確地確定出來。

在一定類型的通井機及滑車系統的一定繞法的條件下，可以得到鋼絲繩的最大拉力，而根據鋼絲繩的最大拉力可以很容易地求出大鉤的最大計算載荷。

目前，当使用功率最大的装有 JT 2M 型绞车的 C-80 型通井机时，如滑车的绕法为  $5 \times 4$ ，可以得到的大钩最大载荷为  $P_K = 60$  吨。

这种计算最大载荷的方法不能认为是十分有根据的，因为滑车系统的滑轮数目是可以自由选择的，当需要获得相当大的大钩载荷时，可以增加滑轮数目。可根据能够下入生产井内的最大直径管柱的允许载荷，可对所算得的大钩最大载荷进行检验：

$$P_K = \sigma_z f_0,$$

式中  $\sigma_z$ ——最大允许应力；

$f_0$ ——管扣的第一螺纹线处金属的断面面积。

如果取管子最大直径为 4'', 并设金属的比例极限为允许应力，则管壁最厚的 D 牌号油管的载荷约为 80 吨。

生产井滑车系统的重量，可设为  $P_T = 4.8$  吨，即起重重量为 75 吨的滑车系统的最大重量。

在提昇时，钢丝绳活端的拉力根据下式决定：

$$P_1 = \frac{P_K \beta^{2n} (\beta - 1)}{\beta^{2n} - 1},$$

式中  $n$ ——游动滑车的滑轮数目；

$\beta = 1:n$ ——滑轮效率的倒数，或钢丝绳在滑轮前后拉力之比；

通常取该系数为  $\beta = 1.04$ 。

不同滑轮个数  $n$  的  $\beta^{2n}$  值如下：

$n$	1	2	3	4	5
$\beta^{2n}$	1.08	1.167	1.266	1.362	1.448

钢丝绳死端的拉力：

$$P_0 = \frac{P_1}{\beta^{2n} \beta_M},$$

式中  $\beta_M$  —— 死滑輪的阻力系数。

可以近似認為：

$$P_1 + P_0 = \frac{P_K}{n}.$$

由于風力作用于井架各構件上和固定在井架頂部的天車上，產生了采油井架的水平載荷。

風載荷由建築物在垂直風向平面上的投影面積  $F$ 、風的比壓  $q_B$ 、環流系數  $k$  及動力系數  $\beta$  的乘積決定：

$$P_B = k \beta F q_B.$$

比壓  $q_B$  或叫風的速度頭，根據下式決定：

$$q_B = \frac{\rho v^2}{2},$$

式中  $\rho$  —— 空氣的密度；

$v$  —— 風的速度。

按技術度量衡制， $\rho = 0.125$  公斤秒<sup>2</sup>/公尺<sup>4</sup>，因之，

$$q_B = \frac{v^2}{16} [\text{公斤}/\text{公尺}^2];$$

風的速度隨着距離地面的高度而增加，從而風的比壓也增加。

根據 ГОСТ 1664-42，一般認為下層（即由 0 到 20 公尺）的風速是固定的，所以當計算 20 公尺以下的建築物的風載荷時，不考慮該建築物的高度。如果建築物的高度在 100 公尺以下，則隨高度的增加來考慮風載荷的增加。

風的比壓的大小依風力而定。根據 ГОСТ 1664-42，將蘇聯的領土按各地風力分為三個區，此三區的  $q_{B20}$ （高度為 20 公尺時的壓力）及  $q_{B100}$ （高度為 100 公尺時的壓力）的值列於下表。

区 域	$q_{B20}$ 公斤/公尺 <sup>2</sup>	$q_{B100}$ 公斤/公尺 <sup>2</sup>
(II)区和(III)区以外的全部苏联领土	40	100
除(III)区以外的沿海一帶	70	150
諾沃罗西斯克城的黑海沿岸	100	200

在由 20 到 100 公尺的高度变化范围内，設風的速度头按直線变化。

环流系数  $k$  依被环流的物体的形狀而定，同时也依被环流的物体与風向的相对位置而定。当風环流桁架时，可取系数  $k$  如下：如为矩形断面及复杂形狀断面， $k=1.4$ ，如为圆形断面， $k=1$ 。在这些情况下設桁架与風向垂直。

因为井架是一个空間的桿系，故当風流經過井架的前格架时，風流同时也給井架的后扇一个压力，并且这个压力是應該考慮的。

井架前扇的各構件給風流一个阻力，因此風在穿过了前格架后，速度就降低了一些，于是風以一个較小的力作用于井架的后扇。此时，風力作用的强度依格架面积的充滿程度而定，也就是依各桿的总面积与格架面积之比而定。对于具体的金属采油井架来講，應該認為：井架后扇的压力为井架前扇压力的80%。

动力系数  $\beta$  是考慮塔型建筑物由振动(搖摆)而产生的附加載荷。此系数依該建筑物的自然振动週期  $T$  而定；如  $T \leq 0.5$  秒，动力影响可以不考慮，亦即  $\beta=1$ ；随着週期的增加此系数也增加，一直达到最大  $\beta=2$ 。建議① 取金属鑽井井架的动

① 見Я.Л.依力亞塞夫斯基与 Г.Н.伯尔日耶茨合著的“石油井架”，苏联国立石油燃料科技書籍出版社1949年版。

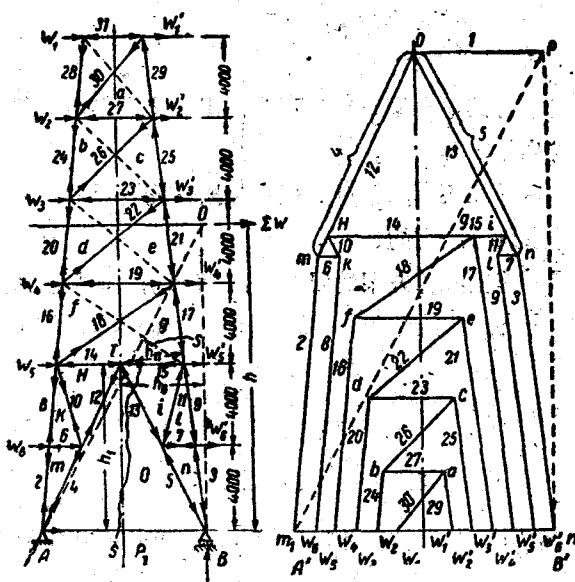


圖 3 作用于井架的風力示意圖及克列蒙那的圖解法

力系数  $\beta=2$ 。

我們所討論的采油井架既受最大風載荷同时又受最大垂直載荷的机会，是很少的。所以采油井架的自然振动週期將小于0.5秒，而在这种情况下动力系数可以取  $\beta=1$ 。

从結構上看来，井架本身是一个由許多單独層組成的桿系，故应使分佈于格架內各桿全長上的風压水平載荷作用于各層的节点上(圖 3)，即各桿相互会合的各点上。

每層的环流面积(見圖 1)由下式决定：

$$F_i = 2(hD_h + ld) + bD_n,$$

式中  $h$ —每層的高度；

$D_h$ —大腿的直徑；

$l$ —斜拉筋的長度；

$d$ —斜拉筋的直徑；

$b$ ——橫拉筋的長度；

$D_n$ ——橫拉筋的直徑。

當格架為其他類型時，也不難列出一個類似的計算環流面積的公式也是很容昜的。

天車橫梁及天車的環流面積是根據它們的尺寸，同時並考慮它們的形狀而決定的。

為了要簡化計算井架的風載荷，可以用近似方法進行計算，取整個塔的環流面積 $F$ 等於該塔外廓面積 $f_0$ 的一部分：

$$F = m f_0.$$

在這種情況下面積的充滿系數一般都取為 $m=0.3$ 。

### S 3. 井架的水平載荷計算

井架的計算歸根結底是求格架各桿在載荷作用下所產生的力。

這個問題可用計算桁架所用的任意一種方法解決。

當桁架為靜定時，可用克列蒙那法或里傑爾法；如果桁架是靜不定的，也就是說，在解該問題時要求考慮桿的應變，則此時解決該問題就必須應用大家熟知的結構力學中的各種方法，例如：位移互等定理，馬克西威爾法等等。

現在讓我們以十字形格架的靜定井架的計算為例加以討論，用克列蒙那的圖解法來解決該問題。大家知道，克列蒙那圖解法就是順序地把桁架上的一切內力及外力畫成一個力的多邊形，其畫法是把結構中作用於一點的諸力構成圖解中的封閉多邊形。

圖3為B3M-24型高為24公尺的十字形井架示意圖。作用於井架上的風壓力全加在井架的各個節點上。所討論的桿系是一個靜不定的系統，因為在該桿系中有大量不能根據靜力學進行計算的所謂“多餘的桿”。可是在這種情況下，因為斜拉筋

是用細圓鋼桿制成的，而且这些桿在長度方向上有很小的縱向弯曲的穩定性，所以在計算該桿系時（即桁架），有充分的根據可以忽略被壓縮的斜拉筋的影響，而只考慮被拉伸的斜拉筋的影響。此外，為了計算簡便起見，我們令右支點為可動的。圖3為克列蒙那圖解法的畫法。

我們從決定A和B兩支點的反作用力開始作圖。為此，我們須將所有作用於節點上的力，從頂部開始順序地照比例地加起來，用一條水平直線表示之，然後我們計算這些水平力的合力距AB支點平面的距離 $h$ ：

$$h = \frac{\sum W_i h_i}{\sum W_i}$$

式中 $h_i$ ——任意一力距支點平面的距離。

先畫BO垂線，然後畫AO斜線，即可求得兩個支點的反作用力的方向。至于反作用力的大小，我們可用圖解法，亦即在力的多邊形中畫 $A'P$ 和 $PB'$ 綫，使它們相應地平行AO和BO，即可求得。

從上層開始決定各桿內的力。在圖3中，我們用數字表示各桿，用字母表示格架的各三角形。現在我們就來討論最上面的一個三角形。

$W_1$ 力作用於桿31上，壓縮該桿。在頂平面上還有一個作用於井架後扇的壓力 $W'_1$ 。 $W_1 + W'_1$ 之和與29—30桿內之力構成封閉的力三角形，桿28實際上不承受載荷。

然後我們轉向三角形b，跟著再轉向三角形c等等，這樣一直繼續下去。當每轉到下一層時，我們都要把作用於該層的 $W_i$ 和 $W'_i$ 力計算進去。這樣一直進行到T點，亦即集聚12、13、14和15等桿應力的點。

再要往下畫，就必須進行某些計算。在交點T上集聚著四